

# Моделирование полупроводникового лазера на основе наноразмерной гетероструктуры с продольной накачкой электронным пучком

Д.В.Высоцкий, Н.Н.Ёлкин, А.П.Напартович, В.И.Козловский, Б.М.Лаврушин

*Разработана численная трехмерная модель полупроводникового лазера с вертикальным резонатором (ПЛВР), содержащего резонансную решетку квантовых ям (КЯ). Самосогласованым образом решены уравнение Гельмгольца для поля и уравнение диффузии для среды, в котором источником носителей заряда является электронный пучок, что позволило найти продольный и радиальный профили генерируемого поля, его частоту, а также пороговый ток накачки. Рассчитаны характеристики мод более высокого порядка на фоне замороженной среды, сформированной генерируемой модой. Предел устойчивости одномодового режима и тип моды, начинающей генерацию при увеличении накачки, найдены из расчета баланса усиления и потерь мод более высокого порядка. Разработан итерационный алгоритм, позволяющий рассчитывать характеристики ПЛВР с большим количеством КЯ, при этом время вычислений линейно растет с числом КЯ. Приведены результаты расчета профилей мод резонатора и спектра их частот для ПЛВР с цилиндрической симметрией. Определены пределы устойчивой одномодовой генерации. Проведено качественное сопоставление с экспериментом.*

**Ключевые слова:** резонансная гетероструктура, метод встречных распространяющихся пучков, собственные значения, нелинейный оператор.

## 1. Введение

Гетероструктуры с большим количеством квантовых ям (КЯ) представляют практический интерес для применения в полупроводниковых лазерах с вертикальным резонатором (ПЛВР). Они могут накачиваться либо пучками электронов, либо излучением лазерных диодов [1]. Полупроводниковые лазеры с продольной накачкой электронным пучком могут использоваться в качестве квазинепрерывных источников монохроматического света в дисплейных технологиях. Отличительной особенностью таких лазеров является отсутствие оптического ограничения в направлении, поперечном оси резонатора. Распределение лазерного поля в поперечном направлении определяется изменением комплексной диэлектрической проницаемости, которое, в свою очередь, контролируется распределением плотности тока в пятне электронного пучка, рассеянием электронов в полупроводнике и диффузией носителей заряда.

Первые теоретические работы по исследованию модового состава и направленности излучения с учетом пространственной поперечной неоднородности возбуждения были выполнены для полупроводникового лазера с поперечной накачкой [2, 3]. Были построены аналитические решения для поля в резонаторе при некоторых характерных распределениях скорости накачки и введен

параметр конфигурационных потерь. Эти решения качественно описывали диаграмму направленности основных типов колебаний при накачках, незначительно превышающих порог генерации. При распространении такого подхода на лазеры с продольной накачкой было показано [4], что на пороге генерации характерный поперечный размер распределения интенсивности поля в основной моде меньше диаметра электронного пучка с гауссовой функцией плотности тока.

В эксперименте расходимость излучения лазера заметно превышала дифракционный предел, особенно при значительном превышении порога генерации. Было сделано предположение, что это обусловлено возбуждением мод более высокого порядка. В работе [5] для расчета профилей интенсивности полей поперечных мод было использовано ВКБ-приближение, найдены пороги их возбуждения, проанализированы неоднородности распределения усиления и роль тепловой линзы. Угол расходимости лазерного пучка при заданном токе приравнялся углу расходимости наивысшего возбуждаемого типа колебаний. Теория качественно объясняла увеличение угла расходимости от  $\sim 5^\circ$  на пороге генерации до  $\sim 15^\circ$  при значительном его превышении в лазерных электронно-лучевых трубках с монокристаллической активной областью и диаметром пятна электронного пучка 35 мкм. Однако в этих работах не учитывалось влияние генерируемого поля на распределение комплексной диэлектрической проницаемости, существенное в полупроводниковых лазерах [6].

В последние годы произошел переход от монокристаллических структур к наноразмерным гетероструктурам, в которых при использовании резонансно-периодического усиления порог генерации при комнатной температуре может быть значительно снижен [7]. Моделирование ПЛВР с решеткой КЯ представляет собой трудную

Д.В.Высоцкий, Н.Н.Ёлкин, А.П.Напартович. ФГУП «ГНЦ РФ – Троицкий институт инновационных и термоядерных исследований», Россия, Московская обл., 142190 Троицк, ул. Пушкиновых, 12; e-mail: dima@triniti.ru

В.И.Козловский, Б.М.Лаврушин. Физический институт им. П.Н.Лебедева РАН, Россия, 119991 Москва, Ленинский просп., 53

Поступила в редакцию 19 мая 2009 г., после доработки – 8 июля 2009 г.

вычислительную задачу из-за большого количества слоев, границы которых частично отражают свет, и нелинейного характера уравнений на собственные значения. Кроме того, математическая модель лазера должна адекватно учитывать дифракционные явления внутри резонатора и согласовывать решения для электромагнитного поля в КЯ с решениями нелинейных уравнений диффузионного типа для носителей тока.

В настоящей работе кратко описан итерационный алгоритм, позволяющий рассчитывать характеристики ПЛВР с большим количеством КЯ, и приведены рассчитанные профили мод резонатора и спектр их частот для цилиндрических ПЛВР. Определены пределы устойчивой одномодовой генерации и проведено качественное сопоставление с экспериментом.

## 2. Математическая модель ПЛВР

В общем подходе к расчету ПЛВР методом встречных пучков (МВП) [8] используется представление прохождения плоских волн через набор однородных слоев в формализме передаточных матриц (*T*-матриц). Амплитуды встречных волн на нижней и верхней границах набора слоев преобразуются друг в друга через произведение соответствующих *T*-матриц размером  $2 \times 2$ . Пространственно-неоднородные поля разлагаются по плоским волнам, а затем метод *T*-матриц применяется к компонентам разложения. Стартуя с некоторой плоскости и совершая с помощью этого преобразования круговой обход резонатора, можно получить замкнутую систему уравнений для неизвестной функции *u* – распределения поля волны одного направления в выбранной плоскости. В дискретной аппроксимации авторы [8] получают матричное уравнение  $Au = 0$  для конечномерного вектора *u*. Выводятся явные выражения для элементов матрицы *A*, которые зависят от неизвестного собственного числа  $\lambda$ , содержащего точное значение частоты резонаторной моды. Решение матричного уравнения  $Au = 0$  находится подбором  $\lambda$ . Однако этот метод требует большого объема памяти для явного вычисления полностью заполненной матрицы *A* и не распространяется на нелинейный режим, наиболее интересный в случае лазера.

Близкий по идеологии, но свободный от перечисленных недостатков метод изложен в работе [9]. В слоистой среде преобразование поля при переходе от одной поперечной плоскости к другой описывается операторами, учитывающими отражения на промежуточных границах. Преобразование поля при прохождении КЯ описывается нелинейным оператором, что и приводит к необходимости применять к решению задачи итерационный подход, обобщающий метод Фокса – Ли [10]. Если гетероструктура состоит из многих КЯ, проблема усложняется. В работе [11] для ее решения предложено использовать специальную итерационную процедуру, приводящую к линейной зависимости времени расчета от числа КЯ.

Гетероструктура, состоящая из решетки КЯ, расположенных между внешним и нижним брэгговскими зеркалами (БЗ), изображена на рис.1. Между БЗ и решеткой КЯ дополнительно вставлены тонкие согласующие слои. Если направить ось *z* перпендикулярно подложке, то ПЛВР будет представлять собой набор из *L* плоских слоев  $\{z_{k-1}, z_k\}$ ,  $k = 1, \dots, L$  с координатами границ  $\{z_k, k = 0, \dots, L\}$  и толщиной *k*-го слоя  $h_k = z_k - z_{k-1}$ . Алюминиевое основание нумеруется в численной схеме как слой

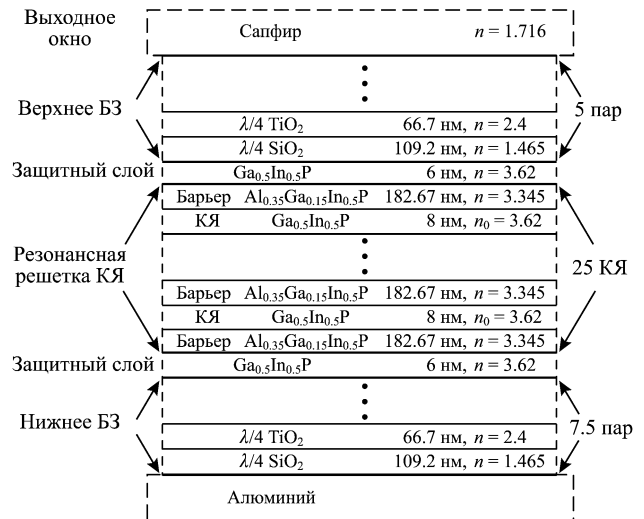


Рис.1. Схема ПЛВР. Относительные размеры слоев показаны не в масштабе.

$c k = 0$ , а слой материала выходного окна – как  $k = L + 1$ . Во всех пассивных слоях показатель преломления и коэффициент поглощения предполагаются однородными. В КЯ их профили определяются действием накачки и генерируемого излучения.

Предполагаем, что поляризационными эффектами можно пренебречь, и ограничиваемся скалярной моделью дифракции. Кроме того, коэффициенты преломления и поглощения в поперечной плоскости предполагаются осесимметричными, что делает удобным использование цилиндрических координат. Генерируемое поле зависит от времени как  $E(r, \varphi, z, t) = U(r, \varphi, z) \exp(-i\Omega t)$ , где  $\Omega = \omega_0 + \Delta\omega - i\delta$ ;  $\omega_0$  – реперная частота генерации;  $\Delta\omega = \omega - \omega_0$  – модовый сдвиг частоты;  $\delta$  – декремент затухания. Реперная частота  $\omega_0$  выбирается близкой к рабочей частоте лазера, а соответствующие значения волнового вектора и длины волны в вакууме определяются как  $k_0 = \omega_0/c$  и  $\lambda_0 = 2\pi/k_0$ .

В принятых приближениях оптическими модами ПЛВР являются стандартные  $TE_{m,m}$ -моды, где *m* – угловой индекс, соответствующий зависимости  $\sim \exp(im\varphi)$ , а *n* – радиальный номер. Подстановка  $U(r, \varphi, z) = U_m(r, z) \exp(im\varphi)$  позволяет исключить угловую координату и получить уравнение

$$\frac{\partial^2 U_m}{\partial z^2} + \frac{1}{r} \frac{\partial}{\partial r} \left( r \frac{\partial U_m}{\partial r} \right) - \frac{m^2}{r^2} U_m + (k_0^2 n^2 - ik_0 g) U_m - ik_0 n^2 \beta U_m = 0, \quad (1)$$

содержащее комплексное собственное число  $\beta$ . Здесь *n* и *g* – коэффициенты преломления и усиления соответственно;  $\beta = g_t + i2\Delta k$ ;  $g_t = 2\delta/c$ ;  $\Delta k = \Delta\omega/c$ ;  $g_t$  – пороговый коэффициент усиления.

В отсутствие накачки уравнение (1) совместно с условиями на боковой границе  $r = r_{\max}$ , выбранной достаточно далеко от пятна накачки, определяет оптические моды пассивной структуры. Когда накачка превышает порог, самосогласованное решение волнового уравнения и уравнений для среды дает профиль генерируемого поля и его частоту в режиме стационарной генерации. Основная мода обладает осевой симметрией при осесимметричной накачке. Поэтому уравнение (1) необходимо решать

при  $m = 0$  совместно с системой нелинейных уравнений диффузии носителей в КЯ [12]:

$$\frac{1}{r} \frac{\partial}{\partial r} \left( r \frac{\partial Y_j}{\partial r} \right) - \frac{Y_j}{D\tau_{nr}} - \frac{B}{D} N_{tr} Y_j^2 - \frac{|U_0|^2 \ln[\chi(Y_j)]}{D\tau_{nr}} = - \frac{J}{eDdN_{tr}} \quad (2)$$

для нормированной плотности носителей  $Y_j = N_j/N_{tr}$  на  $j$ -й КЯ,  $j = 1, \dots, q$ . Здесь  $N_j$  – плотность носителей;  $N_{tr} = \{-1/\tau_{nr} + [1/\tau_{nr}^2 + 4BJ_{tr}/(ed)]^{1/2}\}/(2B)$  – плотность носителей в условиях прозрачности;  $D$  – коэффициент диффузии;  $\tau_{nr}$  – время рекомбинации;  $B$  – коэффициент нелинейности;  $d$  – толщина КЯ;  $e$  – элементарный электрический заряд;  $|U_0|^2 = I/I_s$  – интенсивность излучения, отнесенная к интенсивности насыщения  $I_s = hcN_{tr}/(\lambda_0 g_0 \tau_{nr})$ ;  $J = \kappa J_{tr} f(r/r_0)$  – эквивалентная плотность тока инжекции, создающая такой же поток носителей заряда в КЯ, как и заданный электронный пучок;  $J_{tr}$  – плотность тока прозрачности;  $\kappa$  – амплитуда накачки;  $f(\rho)$  – функция профиля накачки;  $f(0) = 1$ ;  $\rho = r/r_0$ ;  $r_0$  – радиус области накачки. Выходная мощность излучения ПЛВР вычисляется по формуле  $P_{out} = 2\pi \int I_{out} r dr$ , где  $I_{out}$  – профиль интенсивности излучаемого поля. На боковых границах активных слоев ( $r = r_{max}$ ) ставятся нулевые граничные условия для  $Y_j(r)$ . Коэффициенты усиления и преломления в активных слоях рассчитываются по приближенным формулам

$$g_j = g_0 \ln[\chi(Y_j)], \quad n_j = n_0 - \frac{R(g_0 + g_j)}{2k_0}, \quad (3)$$

$$\chi(Y) = \begin{cases} \alpha + (1 - \alpha)Y^{1/(1-\alpha)}, & Y < 1, \\ Y, & Y \geq 1, \end{cases}$$

где  $g_0$  – параметр усиления;  $n_0$  – показатель преломления в отсутствие носителей заряда;  $R$  – фактор уширения линии;  $\alpha = e^{-1}$ .

Связь между плотностями эквивалентного тока инжекции и тока электронного пучка выражается формулой

$$\frac{J}{ed} = \frac{\eta j_b E_c}{3E_g N_{qw} ed},$$

где  $j_b$  – осевая плотность тока электронного пучка;  $E_c$  – энергия электронов пучка;  $E_g$  – ширина запрещенной зоны барьерных слоев;  $N_{qw}$  – число КЯ;  $\eta = 0.75$  – доля энергии электронов накачки, вкладываемая в структуру с КЯ. Остальная часть энергии уносится отраженными электронами и электронами вторичной эмиссии, а также поглощается в БЗ. Для экспериментальных параметров ( $E_c = 40$  кэВ,  $3E_g = 7.08$  эВ,  $N_{qw} = 25$ ) связь между плотностями эквивалентного тока инжекции и тока электронного пучка выражается простым соотношением:

$$J = 170 \text{ мкА/см}^2 \leftrightarrow j_b = 1 \text{ мкА/см}^2.$$

Решение уравнения (1) при  $m = 0$  вместе с уравнениями (2) и (3) и соответствующими граничными условиями сводится к решению проблемы собственных значений для нелинейного оператора. Дополнительное условие  $\delta = 0$  ( $\text{Re } \beta = 0$ ) определяет стационарный режим генерации. Ограничимся здесь кратким изложением численного

метода, более подробно описанного в [9]. Волновое поле в каждой горизонтальной плоскости представляется в виде суммы двух полей, распространяющихся вверх и вниз по структуре. Квантовая яма моделируется однородным слоем, в котором содержится неоднородный фазовый экран с усилением и набегом фазы, получаемыми из уравнений (2) и (3). Таким образом, ПЛВР представляется в виде набора чередующихся однородных слоев, местами разделенных неоднородными фазовыми экранами. Прохождение поля между двумя соседними фазовыми экранами рассчитывается с помощью алгоритма быстрого преобразования Ханкеля [13] и формализма  $T$ -матрицы для фурье-компонент. Поскольку начало кругового обхода выбирается произвольным, в качестве стартовой была выбрана волна, распространяющаяся вверх от плоскости верхней КЯ. Условие воспроизведения поля при круговом обходе выражается операторным уравнением

$$P(g, n, \beta)u = u \quad (4)$$

для функции  $u$  и собственного числа  $\beta$ . Для нахождения решения (4) вначале ищется решение вспомогательной задачи на собственные значения

$$P(g, n, \beta)u = \gamma u \quad (5)$$

для неизвестной функции  $u$  и собственного числа  $\gamma$  при заданном комплексном значении  $\beta$ . Далее число  $\beta$  подбирается до достижения равенства  $\gamma = 1$  с заданной точностью. В отсутствие накачки задача является линейной. Поскольку практический интерес представляют только самые добротные моды ( $u, \gamma$ ), то вспомогательная задача (5) может быть эффективно решена методом Арнольди [14], который не требует явного вычисления матрицы  $P(g, n, \beta)$ , а только знания алгоритма действия оператора  $P(g, n, \beta)$  на вектор  $u$ . Для режима генерации собственное значение нелинейного оператора в уравнении (5) равно по модулю единице. Оператор кругового обхода резонатора  $P(g, n, \beta)$  зависит от распределений коэффициентов усиления и преломления  $g$  и  $n$  в КЯ, которые находятся из уравнений (2) и (3). Эта проблема решается итерационным методом Фокса – Ли [10].

### 3. Результаты расчетов и их обсуждение

В качестве реперной длины волны было взято  $\lambda_0 = 640$  нм. В соответствии с экспериментом нижнее БЗ состояло из 7.5 пар, а верхнее БЗ – из 5 пар чередующихся четвертьволновых слоев  $\text{SiO}_2$  ( $n = 1.465$ ,  $h = 109.2$  нм) и  $\text{TiO}_2$  ( $n = 2.4$ ,  $h = 66.7$  нм). Активная часть ПЛВР содержала 25 КЯ ( $\text{Ga}_{0.5}\text{In}_{0.5}\text{P}$ ,  $n = n_0 = 3.62$ ,  $h = d = 8$  нм), разделенных барьерными слоями ( $\text{Al}_{0.35}\text{Ga}_{0.15}\text{In}_{0.5}\text{P}$ ,  $n = 3.345$ ,  $h = 182.67$  нм). Таким образом, решетка КЯ формировала конечную периодическую структуру с оптической длиной периода, точно равной  $\lambda_0$ , поэтому структура была резонансной. Дополнительно между гетероструктурой и БЗ вставлялись защитные слои толщиной 6 нм с  $n = 3.62$ . Наконец, ПЛВР устанавливался на алюминиевую пластину, а сверху закрывался выходным окном из сапфира ( $n = 1.716$ ). Алюминиевая и сапфировая пластины в численной модели взяты неограниченными. Для остальных параметров принимались следующие значения:  $D = 0.5 \text{ см}^2 \cdot \text{с}^{-1}$ ,  $\tau_{nr} = 10^{-9} \text{ с}$ ,  $B = 3.5 \times 10^{-10} \text{ см}^3 \cdot \text{с}^{-1}$ ,

$r_0 = 13$  мкм,  $g_0 = 3400$  см<sup>-1</sup>,  $J_{tr} = 400$  А·см<sup>-2</sup>, что соответствует осевой плотности тока прозрачности электронного пучка  $J_{tr}^b = 2.35$  А·см<sup>-2</sup> и интенсивности насыщения  $I_s = 172$  кВт·см<sup>-2</sup>. Точные данные о профиле накачки в ПЛВР с накачкой пучком электронов и о факторе уширения линии неизвестны, поэтому расчеты проводились для модельных профилей  $f(\rho) = (1 + \rho^4)^{-1}$  и  $f(\rho) = \exp(-\rho^6)$ , не меняющихся по длине структуры.

Для всех приведенных далее результатов расчетов число узлов радиальной сетки  $N_r = 1024$ . Для оценки ошибки дискретизации один из вариантов ( $I_b = 35$  мкА,  $f(\rho) = (1 + \rho^4)^{-1}$ ,  $R = 2.5$ ) был пересчитан на сетке с  $N_r = 2048$ . Для генерирующей ТЕМ<sub>00</sub>-моды относительное изменение  $\Delta k$  составило  $0.8 \times 10^{-5}$ , а относительное изменение выходной мощности –  $3.2 \times 10^{-3}$ . В случае линейной задачи (резонатор с «замороженной» активной средой) вычисления для ТЕМ<sub>01</sub>-моды дали относительное изменение  $\beta$  на уровне  $3.4 \times 10^{-5}$ . Таким образом, погрешность вычислений может считаться вполне приемлемой.

Была проведена серия расчетов для  $R = 2.5$ . Проиллюстрируем результаты расчетов для случая тока пучка электронов 35 мкА и профиля, задаваемого формулой  $f(\rho) = (1 + \rho^4)^{-1}$ . Было найдено расчетное значение частотного сдвига  $\Delta k = -405.36$  см<sup>-1</sup>, что соответствует сдвигу длины волны генерации относительно реперного значения  $\lambda - \lambda_0 = 1.98$  нм. Чтобы определить основную причину сдвига длины волны генерации, были проведены расчеты собственных частот системы в приближении плоских волн неограниченной апертуры. Полученная зависимость сдвига резонансной частоты от числа КЯ в структуре представлена на рис.2. При малом количестве КЯ величина сдвига быстро падает, что объясняется уменьшением влияния границ системы КЯ, а затем насыщается. Для 25 КЯ сдвиг резонансной длины волны составляет 2.03 нм и практически не зависит от тока пучка электронов.

Продольное распределение интенсивности поля на оси ПЛВР показано на рис.3. Вследствие близости длины

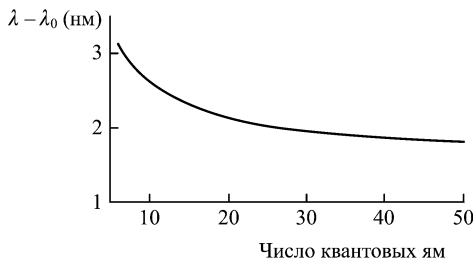


Рис.2. Сдвиг резонансной длины волны ПЛВР как функция числа КЯ в отсутствие поперечной структуры накачки и поля.

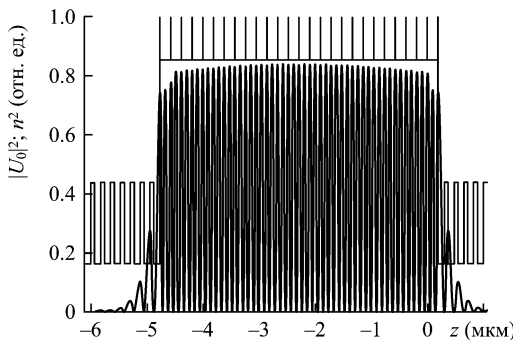


Рис.3. Продольное распределение интенсивности поля на оси  $r = 0$  (непрерывная функция) и квадрат показателя преломления (ступенчатая функция);  $I_b = 35$  мкА,  $f(\rho) = (1 + \rho^4)^{-1}$ ,  $R = 2.5$ .

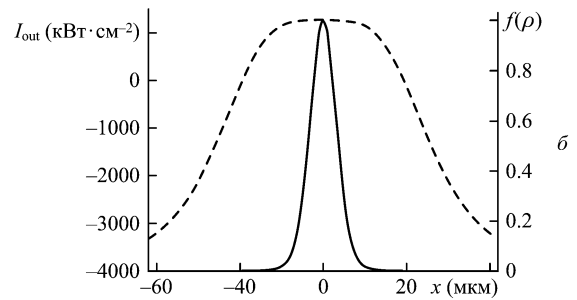
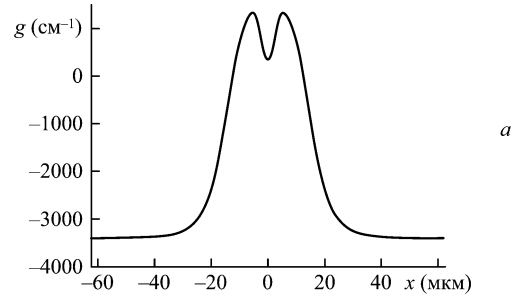


Рис.4. Поперечное сечение профилей усиления в верхней КЯ (а), а также функции распределения накачки  $f(\rho) = (1 + \rho^4)^{-1}$  (сплошная кривая) и выходной интенсивности моды ТЕМ<sub>00</sub> (б);  $I_b = 35$  мкА,  $R = 2.5$ .

волны к резонансной высоте пиков интенсивности поля в разных КЯ почти одинаковы. Соответственно мало изменяются и радиальные профили усиления в КЯ. Профиль коэффициента усиления (КУ) в диаметральном сечении верхней КЯ представлен на рис.4,а. Диаметр области с положительным усилением составляет ~30 мкм. Углубление в профиле КУ на оси вызвано насыщением усиления лазерным излучением. Для сравнения распределение интенсивности в диаметральном сечении выходящего из структуры лазерного пучка представлено на рис.4,б вместе с профилем функции  $f(\rho)$ . Диаметр генерируемого пучка на полувысоте составляет 3.7 мкм.

Чтобы оценить эффекты, вызываемые варьированием тока, была выполнена серия расчетов и построена ватт-амперная характеристика (рис.5). Путем экстраполяции рассчитанной зависимости мощности генерации к нулю найден порог генерации ( $I_t \approx 32$  мкА), который согласуется по величине с экспериментальным значением. Качество лазерного пучка характеризуется  $M^2$ -фактором, расчетный график которого на рис.5 демонстрирует улучшение качества пучка с ростом тока.

Предельный ток для устойчивой одномодовой генерации находится путем решения линейной задачи на собственные значения при условии, что коэффициенты

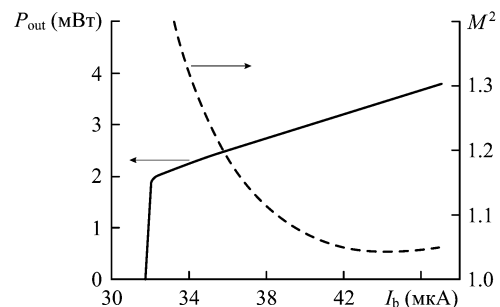


Рис.5. Выходная мощность и  $M^2$ -фактор моды ТЕМ<sub>00</sub> в зависимости от тока накачки;  $f(\rho) = (1 + \rho^4)^{-1}$ ,  $R = 2.5$ .

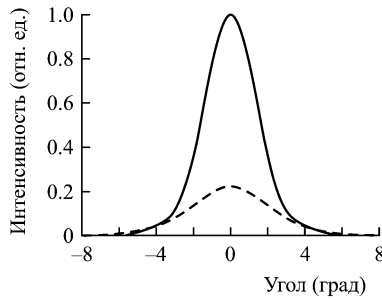


Рис.6. Распределение поля в дальней зоне при  $R = 2.5$  (сплошная кривая) и  $R = 5$  (штриховая кривая);  $I_b = 30$  мкА,  $f(\rho) = (1 + \rho^4)^{-1}$ .

усиления и преломления активной среды сформированы генерирующей модой и «заморожены». Если для какой-либо (отличной от генерируемой) моды пороговый коэффициент усиления, включающий себя разность усиления и суммарных потерь, становится положительным, то стабильность одномодовой генерации нарушается. Расчеты показывают, что порог генерации для моды  $TEM_{01}$  достигается при  $I_b \approx 38$  мкА. Таким образом, одномодовая генерация сохраняет устойчивость при токах  $I_b \lesssim 1.2I_t$ . При больших токах качество выходного излучения падает из-за начала генерации на высших модах.

Для гипергауссова профиля накачки  $f(\rho) = \exp(-\rho^6)$  как пороговый ток накачки (17 мкА), так и ток, при котором одномодовая генерация теряет устойчивость (19.4 мкА), меньше, чем для степенного профиля накачки. Это различие, в основном, обусловлено тем, что при одинаковой плотности тока на оси полный ток пучка для степенного профиля в 1.71 раза больше, чем для гипергауссова профиля. Таким образом, порог генерации основной моды достигается в обоих случаях при примерно одной и той же осевой плотности тока, но критическое превышение порога начала генерации следующей моды для степенного профиля накачки несколько выше, чем для гипергауссова профиля.

Поскольку для структур, исследуемых в эксперименте, значение фактора уширения линии  $R$  известно плохо, была выполнена серия расчетов для  $R = 2.5$  и  $5$  при фиксированном токе пучка  $I_b = 35$  мкА с профилем накачки  $f(\rho) = (1 + \rho^4)^{-1}$ . На рис.6 показаны соответствующие профили интенсивности генерируемой моды в дальней зоне. Видно, что выходной пучок сужается с ростом  $R$ , а размер пятна в дальней зоне соответственно уширяется. Это указывает на существенную роль самофокусировки, связанной с насыщением коэффициента усиления. Мощность генерации лазера оказалась заметно зависящей от параметра  $R$  и составила при  $R = 2.5$  и  $5$  соответственно 2.41 и 1.2 мВт. Параметр  $M^2$  изменяется как функция  $R$  следующим образом:  $R = 2.5$ ,  $M^2 = 1.17$ ;  $R = 5$ ,  $M^2 = 1.06$ . Таким образом, уменьшение размера выход-

ного пучка сопровождается некоторым улучшением его качества, хотя угол расходимости в дальней зоне растет.

В экспериментах измерялся угол расходимости выходного пучка для аналогичной структуры при токах пучка, заметно превышающих пороговые [15]. Характерное значение угла составило  $15^\circ$ . Вблизи порога расходимость уменьшалась примерно в 1.5 раза. Теоретическая модель при малом превышении порога дает угол расходимости  $11^\circ$ . Учитывая неопределенности в значении  $R$  и в радиальном профиле накачки, согласие с экспериментом можно считать удовлетворительным.

#### 4. Заключение

Разработанный численный метод расчета ПЛВР позволяет находить пространственный профиль, выходную мощность, точное значение длины волны и другие характеристики генерирующей моды. Характерное время расчета одной конструкции с резонансной структурой из 25 квантовых ям составляет около 1 ч при использовании персонального компьютера класса Pentium IV. Варьируя ток накачки, можно определить порог генерации, исследовать устойчивость одномодовой генерации ПЛВР и найти максимально достижимую в этом режиме выходную мощность.

Работа была частично поддержана грантом РФФИ № 08-02-00796-а.

1. Охотников О.Г. *Квантовая электроника*, **38**, 1083 (2008).
2. Богданкевич О.В., Гончаров В.А., Лаврушин Б.М., Летохов В.С., Сучков А.Ф. *ФТП*, **1** (1), 7 (1967).
3. Богданкевич О.В., Летохов В.С., Сучков А.Ф. *ФТП*, **3** (5), 665 (1969).
4. Богданкевич О.В., Уласюк В.Н. *Квантовая электроника*, **11** (2), 357 (1974).
5. Богданкевич О.В., Гориев Ю.Г., Дарзнец С.А., Кацап В.Н., Туманова Л.А., Уласюк В.Н. *Квантовая электроника*, **16** (9), 1775 (1989).
6. Богатов А.П., Елисеев П.Г. *Квантовая электроника*, **12** (3), 465 (1985).
7. Бондарев В.Ю., Козловский В.И., Крыса А.Б., Попов Ю.М., Скасырский Я.К. *Квантовая электроника*, **34** (10), 919 (2004).
8. Rao H., Steel M.J., Scarmozzino R., Osgood R.M. Jr. *IEEE J. Quantum Electron.*, **37**, 1435 (2001).
9. Elkin N.N., Napartovich A.P., Troshchieva V.N., Vysotsky D.V. *Lect. Notes Comp. Sci.*, **4310**, 542 (2007).
10. Fox A.G., Li T. *IEEE J. Quantum Electron.*, **QE-2**, 774 (1966).
11. Elkin N.N., Napartovich A.P., Troshchieva V.N., Vysotsky D.V. *Lect. Notes Comp. Sci.*, **5434**, 273 (2009).
12. Hadley G.R., Hohimer J.P., Owyong A. *IEEE J. Quantum Electron.*, **23**, 765 (1987).
13. Siegman A.E. *Opt. Lett.*, **1**, 13 (1977).
14. Деммель Дж. *Вычислительная линейная алгебра. Теория и приложения* (М.: Мир, 2001).
15. Bondarev V.Yu., Kozlovsky V.I., Krysa A.B., Kuznetsov P.I., Sannikov D.A., Skasyrsky Ya.K., Tiberi M.D., Popov Yu.M. *Proc. SPIE Int. Soc. Opt. Eng.*, **6637**, 663707 (2007).